

Proceeding Series of the Brazilian Society of Computational and Applied Mathematics

Dinâmica e Controle do Voo de um VANT Quadrrrotor

Leonardo de Avellar Frederico¹

Universidade Federal do ABC – UFABC, Santo André, SP

André Luís da Silva²

Universidade Federal de Santa Maria – UFSM, Cachoeira do Sul, RS

Luiz de S. Martins-Filho³

Universidade Federal do ABC – UFABC, São Bernardo do Campo, SP

Resumo. Esse trabalho trata do problema do controle do voo de um veículo aéreo não tripulado quadrrrotor (VANT). A missão considerada é do tipo busca e vigilância, onde se exige a capacidade de realizar decolagens e pousos verticais, pairagens e mudanças rápidas de trajetórias. As trajetórias dessa missão apresentam características de varredura rápida, e aparente imprevisibilidade para surpreender eventuais intrusos. A modelagem do movimento do veículo baseia-se nas formulações de Newton-Euler e Euler-Lagrange. A técnica de controle não linear adotada é o controle por modos deslizantes. Os testes para análise da modelagem da dinâmica e do controlador proposto são realizados através de simulações numéricas.

Palavras-chave. VANT, Quadrrrotor, Dinâmica de voo, Controle de voo

1 Introdução

Este trabalho trata do estudo da aplicação de um Veículo Aéreo Não Tripulado (VANT) para missões de busca e vigilância. A estratégia de planejamento de trajetórias baseia-se no voo de Lévy, um movimento do tipo *random walk* observado em algumas espécies animais como uma solução ótima para o problema da busca por alimento, ou outro tipo de alvo [2,3]. Em missões de busca e vigilância, a rápida varredura de uma área e a imprevisibilidade da trajetória são características desejáveis. O VANT tem se mostrado eficiente atuando em áreas de difícil acesso, 2 custo relativamente baixo [1,3].

2 Modelagem da Dinâmica de Voo

Na modelagem, as seguintes hipóteses são adotadas: o veículo é rígido e simétrico, o centro de massa coincide com a origem do sistema de coordenadas fixo ao corpo, a distância entre o centro de massa e o plano das hélices é desprezível, motores opostos giram no mesmo sentido (2 no sentido anti-horário, 2 no sentido horário), as hélices provocam forças de tração paralelas e perpendiculares ao plano das hélices, a força de arrasto é desprezível. A

¹ leo_de_avellar@hotmail.com

² andreluis.silva@ufsm.br

³ luiz.martins@ufabc.edu.br

Figura 1 mostra os sistemas de coordenadas adotados neste trabalho.

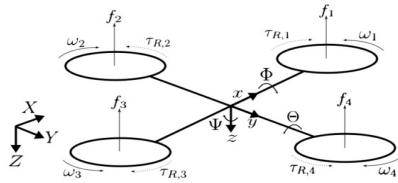


Figura 1: Sistema de coordenadas inercial e do corpo do VANT.

A posição do quadricóptero é expressa por $R = [x_n \ y_e \ z_d]^T$. A relação entre a aceleração e as forças atuantes em relação ao sistema inercial é dada por:

$$m \dot{V} = mg e_3 + C_0^B \sum F_i \quad (1)$$

em que $e_3 = [0 \ 0 \ 1]^T$, m é a massa do corpo e g é a aceleração da gravidade, e C_0^B a matriz de transformação de coordenadas, que leva do sistema do corpo para o inercial. A partir de $\omega = [p \ q \ r]^T$, a dinâmica de rotação pode ser escrita como:

$$I \dot{\omega} = M - \omega \times I \omega \quad (2)$$

onde I é a matriz de inércia, e M é o vetor dos momentos resultantes. Uma outra abordagem para modelagem utiliza o formalismo de Euler-Lagrange. Para o sistema do quadricóptero, as coordenadas generalizadas são $q = [x \ y \ z \ \phi \ \theta \ \psi]^T$. O Lagrangeano é assim definido:

$$L = (1/2)[m(\dot{x}^2 + \dot{y}^2 + \dot{z}^2) + I_{xx}(\dot{\phi} - \dot{\psi} s \theta)^2 + I_{yy}(\dot{\theta} c \phi + \dot{\psi} c \theta s \phi)^2 + I_{zz}(\dot{\psi} c \phi c \theta - \dot{\theta} s \phi)^2] + mgz \quad (3)$$

As forças generalizadas relacionadas a cada coordenada são dadas por:

$$\frac{d}{dt} \left(\frac{\partial L}{\partial \dot{q}_k} \right) - \frac{\partial L}{\partial q_k} = Q_k \quad (4)$$

Para a modelagem da rotação, tomando q_i como ϕ , θ e ψ , os torques são:

$$\begin{aligned} \tau_\phi &= I_{xx}(\ddot{\phi} - \dot{\psi} \dot{\theta} c \theta - \dot{\psi} s \theta) + (I_{zz} - I_{yy})(\dot{\theta} c \phi + \dot{\psi} c \theta s \phi)(-\dot{\theta} s \phi + \dot{\psi} c \theta c \phi) \\ \tau_\theta &= I_{yy}[(\ddot{\theta} c \phi - \dot{\theta} \dot{\phi} s \phi + \dot{\psi} c \theta s \phi) c \phi] \\ &+ I_{yy}[(-\dot{\psi} \dot{\theta} s \theta s \phi + \dot{\psi}' \dot{\phi} c \theta c \phi) c \phi - \dot{\phi}(\dot{\theta} c \phi + \dot{\psi} c \theta s \phi) s \phi] \\ &+ I_{zz}[-\dot{\psi} c \theta c \phi + \dot{\psi}(\dot{\theta} s \theta c \phi + \dot{\phi} c \theta s \phi) + \dot{\theta} s \phi + \dot{\theta} \dot{\phi} c \phi](s \phi) \\ &+ I_{zz}[\dot{\phi}(\dot{\theta} s \phi - \dot{\psi} c \theta c \phi)(c \phi)] - I_{xx}(\dot{\psi} s \theta - \dot{\phi}) \dot{\psi} c \theta \\ &+ I_{yy}(\dot{\theta} c \phi + \dot{\psi} c \theta s \phi) \dot{\psi} s \theta s \phi - I_{zz}(\dot{\theta} s \phi - \dot{\psi} c \theta c \phi) \dot{\psi} s \theta c \phi \\ \tau_\psi &= I_{xx}[(\dot{\psi} \dot{\theta} c \theta + \dot{\psi} s \theta - \ddot{\phi}) s \theta + \dot{\theta}(\dot{\psi} s \theta - \dot{\phi}) c \theta] \\ &+ I_{yy}[(\dot{\theta} c \phi - \dot{\theta} \dot{\phi} s \phi + \dot{\psi} c \theta s \phi - \dot{\psi} \dot{\theta} s \theta s \phi + \dot{\psi} \dot{\phi} c \theta c \phi) s \phi c \theta] \\ &+ I_{yy}[(\dot{\theta} c \phi + \dot{\psi} c \theta s \phi)(-\dot{\theta} s \phi s \theta + \dot{\phi} c \theta c \psi)] \\ &+ I_{zz}[\dot{\psi} c \theta c \phi - \dot{\psi}(\dot{\theta} s \theta c \phi + \dot{\phi} s \phi c \theta) - \dot{\theta} s \phi - \dot{\theta} \dot{\phi} c \phi(c \phi c \theta)] \\ &+ I_{zz}[(\dot{\theta} s \phi - \dot{\psi} c \theta c \phi)(\dot{\theta}' s \theta c \phi + \dot{\phi} c \theta s \phi)] \end{aligned} \quad (5)$$

A descrição do problema se torna completa quando as forças e torques aplicados ao sistema do quadricóptero são definidos [3]. Em voo pairado, a força de tração produzida por

cada um dos motores do quadricóptero é proporcional à velocidade angular de rotação desses:

$$F_i = k_f \Omega_i^2 \quad (6)$$

O torque é de dois tipos: os momentos gerados pelos empuxos perpendiculares ao braço do quadricóptero (L, M), e pelos momentos aerodinâmicos de reação em cada hélice (N).

$$\begin{aligned} L &= k_f l_c (\Omega_4^2 - \Omega_2^2) \\ M &= k_f l_c (\Omega_1^2 - \Omega_3^2) \end{aligned} \quad (7)$$

As velocidades angulares das hélices, Ω_1 , Ω_2 , Ω_3 e Ω_4 , são as variáveis de controle dos movimentos. Essas velocidades podem ser definidas em termos de \mathbf{u} (torques):

$$\begin{aligned} \Omega_1 &= \sqrt{u_T + u_\theta + u_\psi} \\ \Omega_2 &= \sqrt{u_T - u_\theta - u_\psi} \\ \Omega_3 &= \sqrt{u_T - u_\theta + u_\psi} \\ \Omega_4 &= \sqrt{u_T + u_\theta - u_\psi} \end{aligned} \quad (8)$$

Mais detalhes dessa modelagem e dos parâmetros específicos do modelo de VANT estudado, utilizados nas simulações numéricas, podem ser encontrados em [1]. O VANT considerado (Gyrofly 200 ED) dispõe de GPS, magnetômetros, giroscópios e acelerômetros.

3 Controle de Movimento do VANT

Esta seção apresenta uma síntese do equacionamento do projeto do controlador. Primeiramente, define-se o vetor de estado do quadricóptero por

$$\begin{aligned} \mathbf{x} &= [\varphi \quad \dot{\varphi} \quad \theta \quad \dot{\theta} \quad \psi \quad \dot{\psi} \quad z \quad \dot{z} \quad x \quad \dot{x} \quad y \quad \dot{y}]^T \\ &= [x_1 \quad x_2 \quad x_3 \quad x_4 \quad x_5 \quad x_6 \quad x_7 \quad x_8 \quad x_9 \quad x_{10} \quad x_{11} \quad x_{12}]^T \end{aligned} \quad (9)$$

A técnica de controle adotada neste trabalho é o controle não-linear por modos deslizantes (*sliding mode control*) [7,8,9]. A aplicação de outra técnica, *backstepping control*, e comparações de resultados podem ser encontradas em [1]. Para os modos deslizantes, pode-se definir as superfícies de chaveamento:

$$s_k = -\dot{z}_{2k-1} - \alpha_{2k-1} z_{2k-1} \quad (10)$$

em que $k = 1, 2, 3, 4, 5, 6$ e $\alpha_{2k-1} > 0$, de modo que a superfície de chaveamento representa uma trajetória estável, e variável z representa o erro de rastreamento $z_{2k-1} = x_{2k-1}^{ref} - x_{2k-1}$.

Esse controlador define uma resposta de primeira ordem para o erro de rastreamento, que converge para zero em regime permanente. Assim, para cada valor de k , a função de Lyapunov e sua derivada temporal são dadas por

$$V_k = (s_k^2 + z_{2k-1}^2) / 2 \quad (12)$$

$$\dot{V}_k = s_k \dot{s}_k + z_{2k-1} \dot{z}_{2k-1} \quad (13)$$

A estabilidade é atingida quando a Eq. (12) é definida positiva e a Eq. (13) é semi-definida negativa. A aplicação do formalismo do método de Lyapunov impõe que o produto entre s_k e sua derivada seja negativa. A inserção do termo referente à função sinal da superfície de chaveamento é o centro dessa técnica. Assim, todas as trajetórias que iniciam a partir de um ponto não pertencente à superfície de chaveamento são direcionadas a ela:

$$\ddot{x}_{2k-1} + (\alpha_{2k-1} + k_1) \dot{x}_{2k-1} + (1 + k_1 \alpha_{2k-1}) x_{2k-1} = (1 + k_1 \alpha_{2k-1}) x_{2k-1}^{ref} - k_2 \text{sign}(s_k) \quad (14)$$

Esta equação deve ser obtida para a dinâmica da variável x_{2k-1} a partir de um controle adequado. A partir daqui pode-se adotar que:

$$\begin{aligned} k_{2k-1} &= \alpha_{2k} = \alpha_{2k-1} - 2 \\ k_{2k} &= \beta_k \end{aligned} \quad (15)$$

O ganho β_k determina a amplitude do controle chaveado. Assim:

$$\ddot{x}_{2k-1} + (\alpha_{2k-1} + \alpha_{2k}) \dot{x}_{2k-1} + (1 + \alpha_{2k-1} \alpha_{2k}) x_{2k-1} = (1 + \alpha_{2k-1} \alpha_{2k}) x_{2k-1}^{ref} - \beta_k \text{sign}(s_k) \quad (16)$$

Deseja-se agora escrever a lei de controle relacionada ao controle de altitude. Assim, considerando $k = 4$, tem-se a dinâmica para x_7 e a tração T :

$$\ddot{x}_7 = (\alpha_7 + \alpha_8) \dot{z}_7 + (1 + \alpha_7 \alpha_8) z_7 - \beta_4 \text{sign}(s_4) \quad (17)$$

$$T = (m / (c_{x1} c_{x3})) [g - (\alpha_7 + \alpha_8) \dot{z}_7 - (1 + \alpha_7 \alpha_8) z_7 + \beta_4 \text{sign}(s_4)] \quad (18)$$

Não é possível escrever uma equação para o deslocamento, velocidade e para a tração T para todo instante de tempo t devido ao termo referente à função sinal da superfície de chaveamento. A mesma só vale para um instante de tempo t tal que $t_i \leq t < t_{tr}$, onde t_i é o instante inicial do movimento e t_{tr} o instante da primeira transição pela superfície de chaveamento. Assim, para um instante de tempo t que esteja em tal intervalo:

$$x_7 = [x_7^{ref} - x_7(0) - \frac{\beta_4 \text{sign}(s_4)}{\omega_n^2}] \{1 - e^{-\omega_n t}\} + x_7(0) \quad (19)$$

$$x_8 = [x_7^{ref} - x_7(0) - \frac{\beta_4 \text{sign}(s_4)}{\omega_n^2}] \omega_n^2 t e^{-\omega_n t} \quad (20)$$

$$T = m \{ g + [x_7^{ref} - x_7(0) - \frac{\beta_4 \text{sign}(s_4)}{\omega_n^2}] \omega_n^2 e^{-\omega_n t} (\omega_n t - 1) \} \quad (21)$$

Pretende-se determinar um conjunto de valores que torne o movimento em questão possível, sem ultrapassar os limites dos atuadores. Os possíveis valores do ganho β são determinados para atender esse quesito (detalhes dessas análises não serão mostrados aqui). De forma a impor valores positivos para β_4 , os limites de valores são determinados, maior será o valor máximo de β_4 . Para o controle de guinada, considerando $k = 3$:

$$\ddot{x}_5 = (\alpha_5 + \alpha_6) \dot{z}_5 + (1 + \alpha_5 \alpha_6) z_5 - \beta_3 \text{sign}(s_3) \quad (22)$$

Inserindo o termo referente a β_3 , tomamos as hipóteses a respeito do movimento (antes do alcance da superfície de chaveamento):

$$N = I_{zz} \left\{ [x_5^{ref} - x_5(0) - \frac{\beta_3 \text{sign}(s_3)}{\omega_n^2}] \omega_n^2 e^{-\omega_n t} (1 - \omega_n t) \right\} \quad (23)$$

No instante inicial, uma vez que a diferença entre o valor de referência e o valor inicial do estado é positiva e que não há movimento de guinada, $\text{sign}(s_3) = -1$. Para o caso do movimento de guinada, tem-se que $0 < \omega_n \leq 1,382$.

Uma vez que a única restrição imposta para a escolha dos ganhos neste caso provém dos valores limites das rotações das hélices, o valor máximo de β_3 poderá assumir um valor nulo (caso onde não há um termo referente à superfície de chaveamento), até o valor máximo oriundo da condição do valor de rotação das hélices do quadricóptero nunca ser menor que zero. Para o controle de arfagem e rolamento, considerando $k = 2$:

$$\ddot{x}_3 = (\alpha_3 + \alpha_4) \dot{z}_3 + (1 + \alpha_3 \alpha_4) z_3 - \beta_2 \text{sign}(s_2) \quad (24)$$

Do mesmo modo que no controle de guinada, estabelece-se os valores possíveis para β_2 :

$$I_{yy} \left\{ [x_3^{ref} - x_3(0) - \frac{\beta_2 \text{sign}(s_2)}{\omega_n^2}] \omega_n^2 e^{-\omega_n t} (1 - \omega_n t) \right\} \leq 2 k_f l_c \Omega_0^2 \quad (25)$$

Os controles fictícios u_x e u_y , para $k = 5$ e $k = 6$, são obtidos através de:

$$\begin{aligned} \ddot{x}_9 &= (\alpha_9 + \alpha_{10}) \dot{z}_9 + (1 + \alpha_9 \alpha_{10}) z_9 - \beta_5 \text{sign}(s_5) \\ \ddot{x}_{11} &= (\alpha_{11} + \alpha_{12}) \dot{z}_{11} + (1 + \alpha_{11} \alpha_{12}) z_{11} - \beta_6 \text{sign}(s_6) \end{aligned} \quad (26)$$

Assim, para os controle u_x e u_y :

$$\begin{aligned} u_x &= \frac{c_{x3}}{g} \left\{ \omega_n^2 [x_9^{ref} - x_9(0) - \frac{\beta_5 \text{sign}(s_5)}{\omega_n^2}] e^{-\omega_n t} (\omega_n t - 1) \right\} \\ u_y &= \frac{c_{x3}}{g} \left\{ \omega_n^2 [x_{11}^{ref} - x_{11}(0) - \frac{\beta_6 \text{sign}(s_6)}{\omega_n^2}] e^{-\omega_n t} (\omega_n t - 1) \right\} \end{aligned} \quad (27)$$

Tomando-se que $\beta_5 = \beta_6 = \beta$, obtém-se:

$$\begin{aligned} u_x &= \frac{c_{x3}}{g} [\omega_n^2 l_{c_{x5}} e^{-\omega_n t} (\omega_n t - 1)] - \frac{c_{x3}}{g} [\beta_5 \text{sign}(s_5) e^{-\omega_n t} (\omega_n t - 1)] \\ u_y &= \frac{c_{x3}}{g} [\omega_n^2 l_{s_{x5}} e^{-\omega_n t} (\omega_n t - 1)] - \frac{c_{x3}}{g} [\beta_6 \text{sign}(s_6) e^{-\omega_n t} (\omega_n t - 1)] \end{aligned} \quad (28)$$

A partir da síntese das leis de controle por modos deslizantes, e das equações da dinâmica de voo do VANT, é possível verificar o desempenho das propostas.

4 Simulações Numéricas

Para testar a modelagem da dinâmica de voo e o controle de voo proposto, foram realizadas simulações numéricas considerando os parâmetros do VANT adotado. O desempenho do controlador pode ser visto na realização de uma missão simplificada que compreende as seguintes etapas: decolagem para uma altura de 60m, deslocamentos no plano, e pouso. A trajetória planejada (pontos de passagem) e a realizada são mostradas na Figura 2. As Figuras 3 e 4 mostram os deslocamentos e a atitude, e a Figura 5 mostra os erros entre trajetórias realizadas e planejadas.

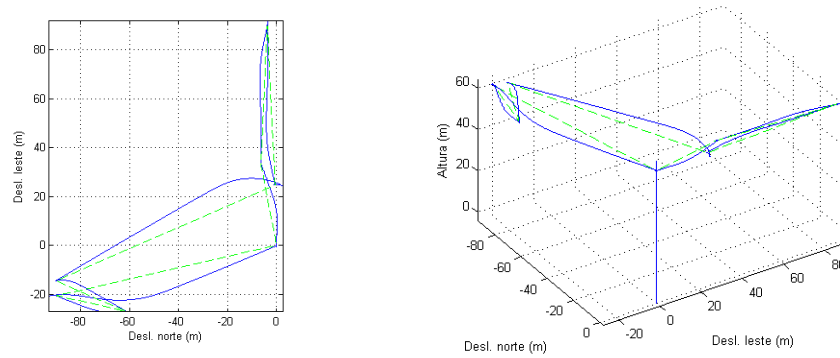


Figura 2: Deslocamento no plano horizontal e no espaço tridimensional.

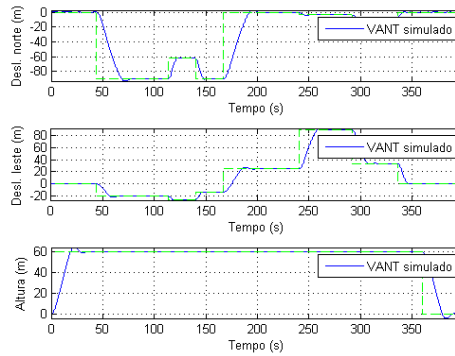


Figura 3: Deslocamentos Horizontais e Altitude.

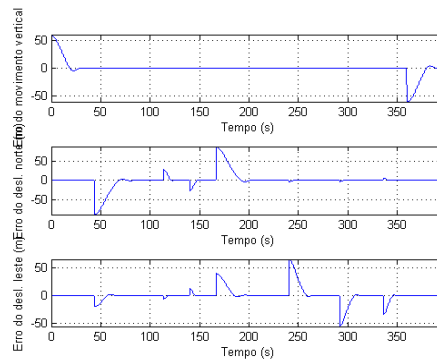


Figura 4: Ângulos de Euler.

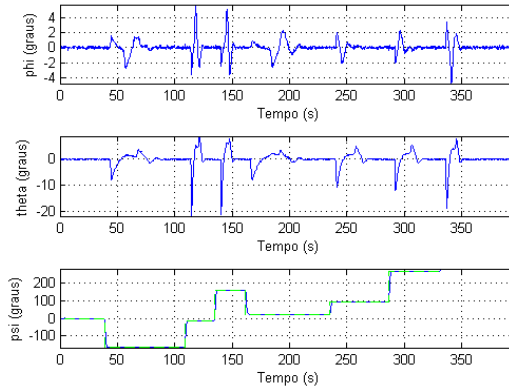


Figura 5: Erros de Rastreo (Altitude e Deslocamentos Horizontais).

5 Conclusão

Esse artigo apresentou parte dos estudos e resultados de um projeto de pesquisa envolvendo a modelagem e o controle de voo de um VANT. Os aspectos mostrados destacam a aplicação de um controlador por modos deslizantes. Essa estratégia obteve resultados com desempenho satisfatório para as perspectivas de continuidade do projeto.

Agradecimentos

Os autores agradecem o apoio da UFABC através de uma bolsa de pós-graduação.

Referências

- [1] L.A. Frederico, Planejamento de trajetórias e controle de voo em missões de busca e vigilância de um veículo aéreo não tripulado. Dissertação de Mestrado, UFABC, (2015).
- [2] L.A. Frederico e L.S. Martins-Filho, Navegação de robôs móveis para missões de busca e vigilância baseada em voos de Lévy. Proc. Series of Braz. Soc. of Applied and Computational Mathematics, vol. 1, no. 1, 1-5, (2013). DOI: 10.5540/03.2031.001.01.0081.
- [3] G.M. Hoffmann, H. Huang, S.L. Waslander and C.L. Tomlin, Quadrotor helicopter flight dynamics and control: Theory and experiment. In: Proc. of AIAA Guidance, Navigation and Control Conference and Exhibit. Hilton Head, EUA, (2007).
- [4] P.H.R.Q.A. Santana e G.A. Borges, Modelagem e controle de quadricópteros. Anais do IX Simpósio Brasileiro de Automação Inteligente - SBAI 2009. Brasília/DF, (2009).
- [5] G.M. Viswanathan, F. Bartumeus, S.V. Buldyrev, J. Catalan, U.L. Fulco, S. Havlin, M.G.E. Da Luz, M.L. Lyra, E.P. Raposo and H.E. Stanley, Lévy flight random searches in biological phenomena. Physica A, vol. 314, 208-213, (2002).